

Записывая (24) для  $I_{[i+1]}(1, 0)$ , а затем, используя (10) с последующим применением формулы Фробениуса, получаем

$$I_{[i+1]}(1, 0) = \frac{1}{2} \operatorname{tr} [(I_{im} + D) + (I_{im} + D)^{-1}] - im. \quad (25)$$

Из выражения для следа матрицы через ее спектр ([6, 7]) и формул (24), (25) получаем (23). При этом существенно свойство  $D \geq B \geq 0$ , которое приводит к (22), так как из него следует ([6, 7]), что  $\lambda_j(D) \geq \lambda_j(B) \geq 0$ ,  $1 \leq j \leq im$ .

**Следствие.** Для  $I_{[i]}(1, 0)$  имеет место эквивалентная (21), (24) формула

$$I_{[i]}(1, 0) = \frac{1}{2} \sum_{j=1}^{im} \frac{1 + [1 + \lambda_j(B)]^2}{1 + \lambda_j(B)} - im,$$

которая непосредственно вытекает из (24).

В конкретных системах, как правило, имеются измерительные элементы, отказы которых легко обнаруживаются, и элементы с плохо обнаруживаемыми отказами. С использованием  $I_{[i]}(1, 0)$  можно все датчики разбить на две группы: с большими значениями  $I_{[i]}(1, 0)$ , указывающими на хорошую различимость отказов датчиков данной группы, и с малыми значениями  $I_{[i]}(1, 0)$ , указывающими на плохую различимость отказов. Для датчиков второй группы следует использовать высокочувствительные, хотя и достаточно сложные, оптимальные алгоритмы обнаружения [9], а для датчиков первой группы можно применять менее чувствительные простые эвристические алгоритмы [10].

Из результатов теоремы 2 следует, что имеет смысл иметь один резервный блок с элементами большей надежности (хотя бы за счет увеличения его стоимости), что увеличит достоверность обнаружения отказов в остальных резервных блоках.

#### СПИСОК ЛИТЕРАТУРЫ

1. Демин Н. С., Жадан Л. И. Синтез и анализ алгоритма фильтрации для дискретных сигналов с аномальными помехами // Радиотехника и электроника.—1984.—29, № 2.
2. Демин Н. С., Жадан Л. И. Об оптимальности процедуры исключения аномальных измерений // Автометрия.—1983.—№ 4.
3. Жадан Л. И. К процедуре исключения аномальных измерений // Автометрия.—1985.—№ 2.
4. Браславский Д. А. Приборы и датчики летательных аппаратов.—М.: Машиностроение, 1970.
5. Гантмахер Ф. Р. Теория матриц.—М.: Наука, 1966.
6. Ланкастер П. Теория матриц.—М.: Наука, 1982.
7. Воеводин В. В., Кузнецов Ю. А. Матрицы и вычисления.—М.: Наука, 1984.
8. Кульбак С. Теория информации и статистики.—М.: Наука, 1967.
9. Фукунага К. Введение в статистическую теорию распознавания образов.—М.: Наука, 1979.
10. Демин Н. С., Жадан Л. И. Некоторые адаптивные варианты фильтра Калмана — Бьюси для дискретных систем // Адаптация и обучение в системах управления и принятия решений.—Новосибирск: Наука, 1982.

Поступило в редакцию 25 мая 1987 г.

УДК 621.382.2

С. С. БОЛГОВ, Й. И. ГОЛОВАЧ, В. Н. КАВАЦИЙ,  
В. К. МАЛЮТЕНКО, З. И. ПЕРЧИ, Е. И. ЯВЛЮНОВСКИЙ  
(Киев)

#### ИК-ИЗЛУЧАТЕЛИ С БЕЗБАРЬЕРНЫМ МЕХАНИЗМОМ ИНЖЕКЦИИ

**Введение.** Полупроводниковые инжекционные светодиоды в настоящее время являются основным элементом оптических и оптоэлектронных устройств обработки информации. Широкое практическое использование светодиодов обусловлено как низкой стоимостью и простотой изготовления, так и хорошими эксплуатационными характеристиками (высокая надежность, значительные мощности излучения, высокое быстродействие и т. д.). Однако область их применения — это видимый и ближний ИК-диапазоны ( $\lambda \leq 2,5$  мкм). Такое ограничение является принципиальным и объясняется следующим обстоятельством. В качестве материала для изготовления светодиодов более длинноволнового излучения необходимо использовать узконаправленные полупроводники, в которых барьерный механизм инжекции заряда (в том

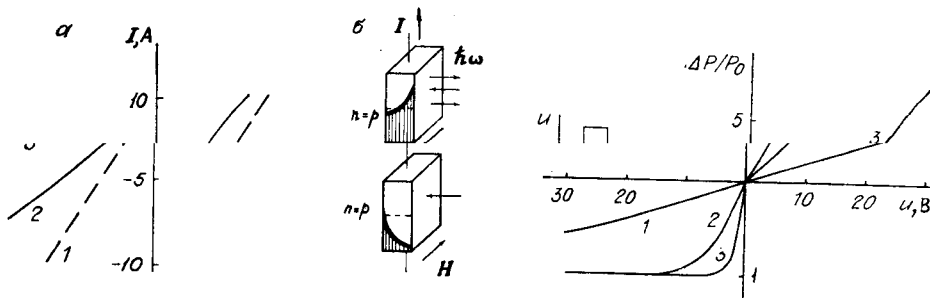


Рис. 1. Вольт-амперные характеристики излучателя,  $u > 0$  — режим обогащения,  $u < 0$  — режим истощения ( $H$ , кЭ):

кривая 1 — 0; 2 — 3; 3 — 10 (а). В исходном состоянии распределение носителей тока в кристалле однородно. Мощность теплового излучения грани  $s_{\min}$  равна мощности  $P_0$ , поглощаемой кристаллом из окружающей среды (центральный рисунок). В режиме обогащения грани  $s_{\min}$  становится источником избыточного неравновесного излучения  $\Delta P = P - P_0 > 0$  (верхний рисунок). В условиях истощения мощность излучения ниже равновесной ( $\Delta P = P - P_0 < 0$ , отрицательная люминесценция, нижний рисунок) (б)

Рис. 2. Полевые зависимости мощности излучения,  $u > 0$  — режим обогащения,  $u < 0$  — режим истощения ( $H$ , кЭ):

кривая 1 — 0,5; 2 — 3; 3 — 10. На вставке: при изменении знака питающего напряжения происходит смена контраста излучения по отношению к уровню равновесного теплового излучения  $P_0$

числе и с помощью  $p-n$ -перехода) оказывается малоэффективным при высоких температурах ( $T \geq 300$  К). Поэтому такие светодиоды могут быть использованы лишь в системах, допускающих применение специальных холодильников или криогенных жидкостей.

В настоящей работе описывается нетрадиционный ИК-излучатель с безбарьерной «магнитной» инжеекцией неравновесных носителей заряда в активную (излучающую) область однородного полупроводникового кристалла. Кратко излагаются принцип действия прибора, его конструкция с излучающим элементом из антимонида индия, обсуждаются характеристики и важнейшие параметры, а также предполагаемые области применения.

**Принцип действия.** Если однородная полупроводниковая пластина с собственной проводимостью ( $n_0 = p_0 = n_s$ ) и омическими контактами находится в скрещенных электрическом  $E$  и магнитном  $H$  полях, то пространственное распределение электронно-дырочных пар ( $n = p$ ) по сечению кристалла отклоняется от равновесного значения (магнитоконцентрационный эффект [1]). Такое перераспределение эффективно проявляется в пластине, толщина которой сравнима с биполярной диффузионной длиной носителей заряда, а противоположные грани характеризуются малой  $s_{\min}$  и большой  $s_{\max}$  скоростями поверхностной рекомбинации (рис. 1, б). При одном направлении силы Лоренца концентрация электронно-дырочных пар у грани с  $s_{\min}$  возрастает, оставаясь в большей части кристалла близкой к равновесной (режим обогащения). При изменении знака  $E$  или  $H$  почти весь объем кристалла истощается вследствие выноса носителей из объема на грани с  $s_{\max}$  (режим истощения).

В результате изменения полного числа носителей заряда в кристалле его вольт-амперная характеристика становится асимметричной, выпрямляющей (см. рис. 1). Изменение же приповерхностной концентрации носителей у грани с  $s_{\min}$  приводит в режиме обогащения к возникновению люминесценции в спектральном диапазоне межзонных переходов полупроводника  $\hbar\omega \geq E_g$  ( $E_g$  — ширина запрещенной зоны) либо к уменьшению мощности теплового излучения грани в этом же спектральном диапазоне в режиме истощения (отрицательная люминесценция). Таким образом, в зависимости от условий возбуждения излучающая грани кристалла с малой скоростью поверхностной рекомбинации становится источником позитивного или погативного контраста (рис. 2). Подробные сведения о физике протекающих в этих условиях процессов, а также соответствующие расчеты представлены в [2, 3].

**Конструктивное исполнение.** На рис. 3 представлены две разновидности излучателя. Излучающий элемент выполнен из монокристалла InSb (с собственной проводимостью) в виде тонкой пластины размерами  $(0,5 \times 0,2 \times 0,02$  см с индивидуальными контактами на торцах, расположенной между полюсами миниатюрного постоянного магнита из SmCo<sub>5</sub> ( $H = 3 \cdot 10^3$  Э). Верхняя грани пластины протравлена ( $s_{\min} \leq 2 \cdot 10^4$  см/с) и герметизирована полусферическим куполом из халькогенидного



Рис. 3. Внешний вид излучателей

стекла\*, нижняя обработана алмазной пастой ( $\varepsilon_{\max} \approx 10^6$  см/с). Пластина укреплена на сапфировой подложке, находящейся в тепловом контакте с металлическим радиатором, обеспечивающим отвод тепла и стабилизацию температуры излучателя.

Вся конструкция расположена в цилиндрическом металлическом корпусе диаметром 22 мм, нижним основанием которого служит радиатор с двумя изолированными от корпуса токовыводами, а в верхнем укреплена линза из BaF<sub>2</sub>, либо окно из просветленного Се (длина корпуса 29 и 15 мм соответственно). Масса излучателя не превышает 30 г.

**Характеристики и параметры.** Полевые зависимости интегральной мощности излучения (в импульсном режиме) представлены на рис. 2. В режиме обогащения мощность сигнала люминесценции увеличивается с ростом управляющего воздействия, при больших полях имеется тенденция к насыщению. В режиме истощения четко выражена область насыщения излучаемой мощности: амплитуда модулированного сигнала достигает своего максимального значения — мощности равновесного излучения ( $\Delta P = P - P_0 = -P_0$ ) в диапазоне межзонных переходов. Величина  $P_0$  легко поддается оценке, так как определяется температурой кристалла и его  $E_g$ . В частности, для InSb при 300 К  $P_0 = 2 \cdot 10^{-3}$  Вт/см<sup>2</sup>, следовательно, мощность излучения в режиме обогащения (см. рис. 2) может достигать в импульсе  $1 \cdot 10^{-2}$  Вт/см<sup>2</sup>. В конструкции с линзой угол расходности излучения 15°.

Спектр излучения при  $T = 300$  К представлен на рис. 4 и имеет вид, характерный для межзонального рекомбинационного излучения прямозонных полупроводников. Положение максимума  $\lambda_{\max} = 7$  мкм определяется  $E_g$  — шириной запрещенной зоны InSb, с повышением температуры  $\lambda_{\max}$  смещается в длинноволновую область в соответствии с уменьшением  $E_g$ . Полуширина спектра  $\Delta\lambda \sim 1$  мкм типична для ИК-источников спонтанного излучения \*\*. С ростом напряжения питания (или увеличением  $H$ ) максимум в спектре излучения в режиме обогащения смещается в коротковолновую область вследствие вырождения электронного газа в зоне проводимости [4], спектр излучения в режиме истощения практически не деформируется.

Быстродействие излучателя определяется временем генерации-рекомбинации носителей заряда в используемом материале и в обсуждаемой конструкции не превышает  $2 \cdot 10^{-8}$  с при  $T = 300$  К. В конструкции излучателя предусмотрена возможность его эксплуатации в импульсном (пределные мощности излучения определяются возможностями отвода выделяемого в активном элементе тепла) и спускальном режимах работы.

**Рекомендации к использованию.** Предлагаемый излучатель с безбарьерным механизмом инъекции предназначен для использования при комнатной и повышенной температурах, однако сохраняет работоспособность даже при  $T \sim 150$  К; предельный режим работы определяется температурой индиевых контактов и размягчения герметизирующего покрытия ( $T \leq 400$  К). Прибор может применяться для контроля параметров приемников и полупроводниковых материалов, а также в системах оптической обработки информации, в окне пропускания атмосферы 3—5 мкм. Он будет полезен в качестве источника опорных световых сигналов в приборах газового анализа, измерителях влажности (см. рис. 4) и т. д. Спектр излучения может быть расширен на область 8—14 мкм, если в качестве материала активного элемента использовать полупроводниковое соединение Cd<sub>x</sub>Hg<sub>1-x</sub>Te, в котором, как показано в [5], безбарьерный механизм инъекции неравновесных носителей также эффективен.

\* Запитное халькогенидное покрытие не только обеспечивает герметизацию излучающего элемента и стабилизацию его параметров, но также увеличивает внешний квантовый выход излучения.

\*\* Напомним, что ширина спектра излучения увеличивается с ростом длины волны излучателя ( $\Delta\lambda \sim \lambda_{\max}^2$ ), если  $\frac{\hbar\omega}{kT} \gg 1$ .

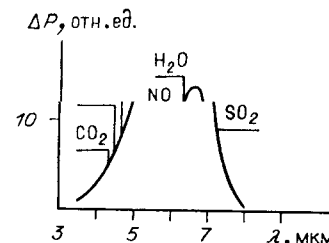


Рис. 4. Спектр излучения при  $T = 300$  К.

Вертикальными линиями указаны характерные линии поглощения паров воды и некоторых газов

## СПИСОК ЛИТЕРАТУРЫ

1. Welker H. Zur Theorie der galvanomagnetischen Effekte bei gemischten Leitung // Z. Naturforsch.—1951.—A6, N 2.—S. 184.
2. Болгов С. С., Малютенко В. К., Пица В. И. Люминесценция полупроводников в условиях дефицита носителей тока // ФТП.—1983.—17, вып. 2.
3. Болгов С. С., Малютенко В. К., Пица В. И. Рекомбинационное излучение полупроводников в скрещенных электрическом и магнитном полях при нелинейных механизмах рекомбинации // УФЖ.—1986.—31, № 2.
4. Иванов-Омский В. И., Коломиец Б. Т., Смирнов В. А. Спектр электромагнитолюминесценции в InSb // Письма в ЖЭТФ.—1966.—3, вып. 7.
5. Малютенко В. К., Яблоновский Е. И., Болгов С. С. и др. Отрицательная люминесценция в CdHgTe // ФТП.—1984.—18, вып. 2.

*Поступило в редакцию 30 марта 1988 г.*

УДК 621.317.7

Н. П. КРАСНЕНКО, В. А. ФЕДОРОВ  
(*Томск*)

### ИССЛЕДОВАНИЕ ТОЧНОСТНЫХ ХАРАКТЕРИСТИК ДВУХТОЧЕЧНОГО КОРРЕЛЯЦИОННОГО МЕТОДА ИЗМЕРЕНИЯ ЧАСТОТЫ ПРИ КОМПЕНСАЦИИ ШУМОВ

В работе [1] проведено исследование точностных характеристик двухточечного корреляционного метода (ДКМ) измерения частоты узкополосных стационарных случайных процессов. Отмечается большая величина систематической ошибки при недостаточно высоком отношении сигнал/шум (С/Ш). Это объясняется тем, что основой ДКМ является первоначальное оценивание двух отсчетов корреляционной функции (КФ)  $B(\tau)$  смеси сигнала и всегда присутствующего на практике шума при  $\tau = 0$  и  $\tau_1 = 1/4 f_{\text{оп}}$ :

$$\widehat{B}(\tau) = \frac{1}{T - |\tau|} \int_0^{T - |\tau|} x(t) x(t + |\tau|) dt, \quad (1)$$

где  $x(t) = s(t) + n_1(t)$  — аддитивная смесь реализаций сигнала  $s(t)$  и шума  $n_1(t)$  за время наблюдения  $T$ ;  $f_{\text{оп}}$  — некоторая опорная частота, относительно которой происходит измерение частоты  $f_c$  сигнала  $s(t)$ . При некоррелированности  $s(t)$  и  $n_1(t)$  среднее измеренное значение  $M[\widehat{B}(\tau)]$  будет складываться из истинного сигнального значения  $B_c(\tau)$  и смещения, определяемого шумовой составляющей  $B_w(\tau)$ , т. е.  $M[\widehat{B}(\tau)] = B(\tau) = B_c(\tau) + B_w(\tau)$ . Поэтому для уменьшения систематических ошибок измерения частоты необходимо осуществить нейтрализацию шума в оценке КФ (1). Такая возможность на практике часто существует. Например, при акустическом зондировании атмосферы можно измерить шумы до посыпки сигнала в атмосферу или после его приема. И если средние статистические характеристики шума достаточно стабильны за полное время измерений, то можно осуществить его компенсацию в двух указанных точках КФ (1), т. е. несмешенная оценка КФ сигнала имеет вид  $\widehat{B}_c(\tau) = \widehat{B}(\tau) - \widehat{B}_w(\tau)$ , где

$$\widehat{B}_w(\tau) = \frac{1}{T_w - |\tau|} \int_0^{T_w - |\tau|} n_2(t) n_2(t + |\tau|) dt$$

— оценка КФ шума по реализации  $n_2(t)$  длительностью  $T_w$ . Отсюда оценка частоты ДКМ принимает вид

$$\widehat{f}_{c,k} = \frac{1}{2\pi\tau_1} \arccos \frac{\widehat{B}_c(\tau_1)}{\widehat{B}_c(0)}. \quad (2)$$

Также отметим, что при измерении шумов зачастую нет таких жестких ограничений, которые накладываются на длительность анализа  $T$  при реализации оценки (1). Поэтому становится возможным измерять  $B_w(0)$  и  $B_w(\tau_1)$  с достаточно высокой статистической точностью, например, путем формирования оценки выборочного среднего этих значений:  $M^*[\widehat{B}_w(\tau)] = \sum_{i=1}^L \widehat{B}_{w,i}(\tau)/L$ , где  $\widehat{B}_{w,i}(\tau)$  — оценка КФ шума по его  $i$ -й реализации;  $L$  — число реализаций. Тогда, вместо оценки (2), можно использовать аналогичную оценку  $\widehat{f}_{c,k}$  с заменой в (2)  $\widehat{B}_c(\tau)$  на  $\widehat{B}_c(\tau) = \widehat{B}(\tau) - M^*[\widehat{B}_w(\tau)]$ .